

**Ba(n,x)¹³⁴Cs*,¹³⁴Ba(n,2n)¹³³Ba,
¹⁴⁰Ce(n,2n)¹³⁹Ce,¹⁴²Ce(n,2n)¹⁴¹Ce 和
²³Na(n,2n)²²Na 反应截面的测量**

孔祥忠 王永昌 杨景康 袁俊谦

(兰州大学现代物理系 兰州 730001)

1994-07-12 收稿

摘要

用中子活化法相对于 $^{54}\text{Fe}(\text{n},\text{p})^{54}\text{Mn}$ 反应, 在 13.50—14.80 MeV 中子能区测量了 $\text{Ba}(\text{n},\text{x})^{134}\text{Cs}$, $^{134}\text{Ba}(\text{n},2\text{n})^{133}\text{Ba}$, $^{140}\text{Ce}(\text{n},2\text{n})^{139}\text{Ce}$, $^{142}\text{Ce}(\text{n},2\text{n})^{141}\text{Ce}$ 和 $^{23}\text{Na}(\text{n},2\text{n})^{22}\text{Na}$ 的反应截面。并将所测的结果和其他作者的结果进行了比较, 中子能量是用 $^{99}\text{Zr}(\text{n},2\text{n})^{99m+g}\text{Zr}$ 反应和 $^{93}\text{Nb}(\text{n},2\text{n})^{92m}\text{Nb}$ 反应截面比法测定的。

关键词 活化方法, 反应截面, $(\text{n},\text{x})(\text{n},2\text{n})$ 反应。

1 前言

核反应截面是检验核理论的基本依据, 也是核技术应用和核能利用的基础数据。钡是聚变反应堆的重要生物屏蔽材料之一, 生成长寿命核的反应截面直接关系到聚变堆的剂量大小, 聚变堆旧结构材料的再生利用和废料的处理, 且钡的天然同位素多, 活化后的 γ 谱十分复杂, $\text{Ba}(\text{n},\text{x})^{134}\text{Cs}$, $^{134}\text{Ba}(\text{n},2\text{n})^{133}\text{Ba}$ 两反应的剩余核半衰期长。 $^{140}\text{Ce}(\text{n},2\text{n})^{139}\text{Ce}$, $^{142}\text{Ce}(\text{n},2\text{n})^{141}\text{Ce}$ 和 $^{23}\text{Na}(\text{n},2\text{n})^{22}\text{Na}$ 三个反应是快中子增殖反应, 其中 $^{140}\text{Ce}(\text{n},2\text{n})^{139}\text{Ce}$ 和 $^{142}\text{Ce}(\text{n},2\text{n})^{141}\text{Ce}$ 两反应截面实验测量数据较少, 而 $^{23}\text{Na}(\text{n},2\text{n})^{22}\text{Na}$ 反应激发函数是混合堆安全防护和环境评价的重要数据^[1]。因此我们用强流中子发生器照射样品, 用活化法相对于 $^{54}\text{Fe}(\text{n},\text{p})^{54}\text{Mn}$ 反应, 测量了上述五个反应截面。

2 实验过程

2.1 样品照射

实验工作是在兰州大学 ZF-300-II 型强流中子发生器上进行的。以 $\text{T}(\text{d},\text{n})^4\text{He}$ 作中子源, 平均氘束能量 \bar{E}_d 为 125 keV, 束流强度约 20 mA, 氘钛靶厚度约为 $0.9\text{mg}/\text{cm}^2$,

* $\text{Ba}(\text{n},\text{x})^{134}\text{Cs}:^{135}\text{Ba}(\text{n},\text{np} + \text{pn} + \text{d}) + ^{134}\text{Ba}(\text{n},\text{p})$.

靶点处中子产额为 $(1-3) \times 10^{12} \text{n/s}$ 。在与入射氘束夹角为 $0^\circ-130^\circ$ 之间放置样品，样品距中子源中心距离最近是 5cm，最远是 28cm。样品处的中子能量是用镅截面比法测定的。样品总的照射时间为 108.9h，照射期间中子通量的波动是用铀裂变室监督，钡样品是由纯度好于 99.8% 的分析纯碳酸钡粉末压成；铈样品是由纯度好于 99.5% 的分析纯草酸铈粉末压成；钠样品是由纯度好于 99.8% 的分析纯氯化钠粉末压成；压成的样品用涤纶纸带封装。铁样品为金属片，纯度为 99.9%。样品和监督片直径均为 20mm。照射时，把样品夹在两个监督片之间，并用 0.5mm 厚的镍皮包住。

2.2 γ 放射性测量

反应产物的 γ 放射性用国产 CH8403 同轴高纯锗探测器测量，探测器的相对效率为 20%，能量分辨率为 3keV（对 1.33MeV γ 射线）。对探测器的 γ 探测效率进行了精确刻度，标准点源的不确定性为 1%，我们在 2cm 处所定的效率误差小于 1.5%，关于效率刻度的细节见文献^[2]。在计算 γ 活性时对中子注量率的波动， γ 射线在样品中的自吸收，测量几何以及级联 γ 的符合效应进行了校正。

3 结果和讨论

测量截面的计算公式如下：

$$\sigma_x = \frac{[\epsilon I, \eta sm DK]_{Fe} [\lambda AFC]_x}{[\epsilon I, \eta sm DK]_x [\lambda AFC]_{Fe}} \sigma_{g_e}$$

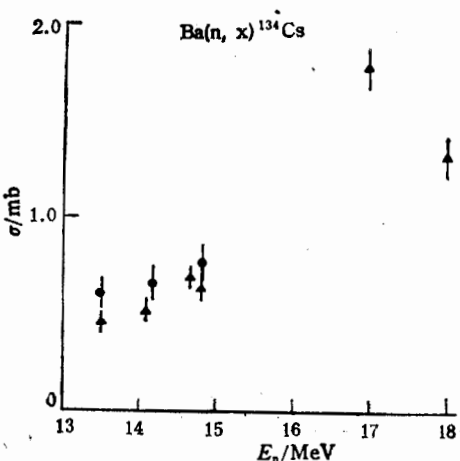
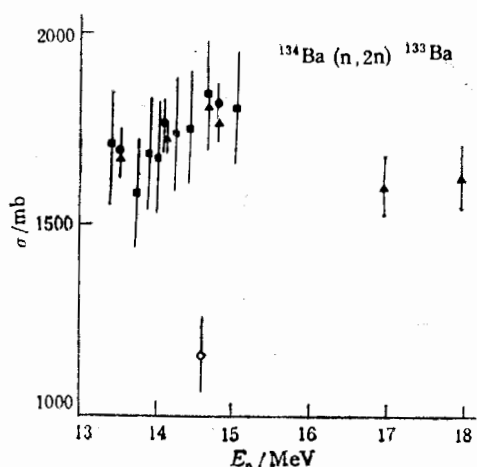
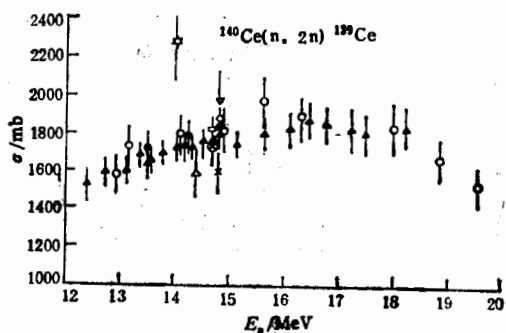
公式中各个因子的含意见文献[2]。所用的核数据列于表 1。表 2 是本文所测 $Ba(n,x)^{134}Cs$, $^{134}Ba(n,2n)^{133}Ba$, $^{140}Ce(n,2n)^{139}Ce$, $^{142}Ce(n,2n)^{141}Ce$ 和 $^{23}Na(n,2n)^{22}Na$ 反应截面的测量结果。图 1—图 5 分别画出了 $Ba(n,x)^{134}Cs$, $^{134}Ba(n,2n)^{133}Ba$, $^{140}Ce(n,2n)^{139}Ce$, $^{142}Ce(n,2n)^{141}Ce$ 以及 $^{23}Na(n,2n)^{22}Na$ 五个反应截面的实验数据和其他作者的实验结果^[3-23]。

表 1 反应核数据

反应道	同位素丰度 %	$T_{1/2}$	E_γ (keV)	I_γ
$^{54}Fe(n,p)^{54}Mn$	5.8	312.20d	834.826	99.975%
$Ba(n,x)^{134}Cs$	9.009	2.062a	795.867	85.4%
$^{134}Ba(n,2n)^{133}Ba$	2.417	10.54a	355.999	62.2%
$^{140}Ce(n,2n)^{139}Ce$	88.48	137.66d	165.853	79.9%
$^{142}Ce(n,2n)^{141}Ce$	11.08	32.5d	145.44	48.4%
$^{23}Na(n,2n)^{22}Na$	100	2.602a	1274.53	99.937%

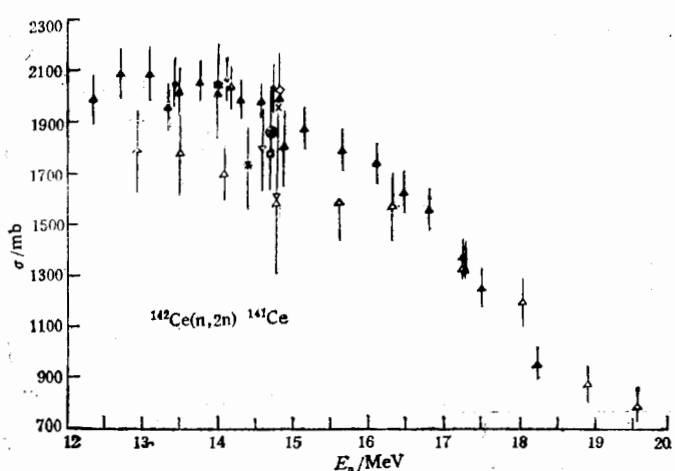
表 2 测量结果 (mb)

中子能量 MeV	$Ba(n,x)^{134}Cs$	$^{134}Ba(n,2n)^{133}Ba$	$^{140}Ce(n,2n)^{139}Ce$	$^{142}Ce(n,2n)^{141}Ce$	$^{23}Na(n,2n)^{22}Na$
13.50 ± 0.07	0.625 ± 0.031	1682 ± 84	1722 ± 96	2050 ± 100	5.60 ± 0.20
14.18 ± 0.07	0.711 ± 0.036	1764 ± 88	1799 ± 100	2080 ± 100	19.9 ± 0.7
14.80 ± 0.11	0.782 ± 0.039	1785 ± 89	1830 ± 110	2043 ± 100	38.2 ± 1.1

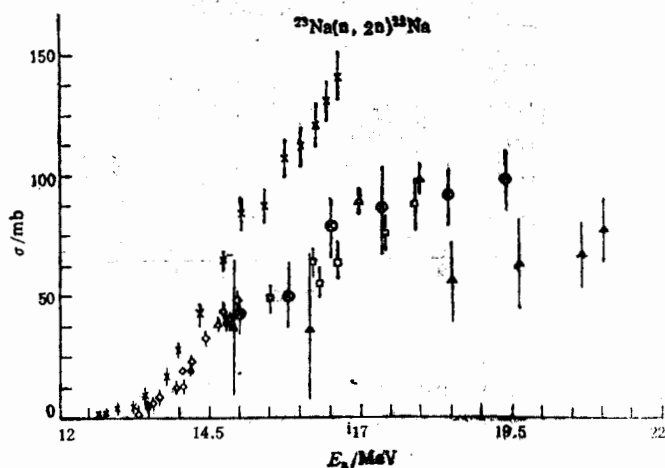
图 1 $Ba(n, x)^{134}Cs$ 反应截面▲ Lu Hanlin^[3] ● 本文.图 2 $^{134}Ba(n, 2n)^{133}Ba$ 反应截面■ Y. Ikeda^[4], ▲ Lu Hanlin^[3], ○ E. Holub^[5] ● 本文.图 3 $^{140}Ce(n, 2n)^{139}Ce$ 反应截面

⊗ P. Cuzzocrea^[12], ⊗ W. Dilg^[21], × J. Csikai^[9], ● 本文. ○ M. Borman^[22],
 △ Wen Deh Lu^[19], ♦ A. Bari^[13], □ S. M. Qaim^[23], ▽ S. L. Sothras^[13],
 ▲ Teng Dan^[23].

从图 1 可以看出 $Ba(n, x)^{134}Cs$ 反应截面实验数据很少, 在 14MeV 中子能区随着中子能量的增大, 反应截面逐渐增大, 我们所测数据的走向和文献[3]一致。从图 2 可以看出 $^{134}Ba(n, 2n)^{133}Ba$ 反应截面实验数据较少。在 14MeV 中子能区, 随着中子能量的增大, 反应截面稍有增大, 且在误差范围内我们所测数据与文献[3, 4]的实验结果一致。从图 3 可以看出 $^{140}Ce(n, 2n)^{139}Ce$ 反应截面, 在 14MeV 中子能区随着中子能量的增大稍有增大, 除 P. Cuzzocrea^[12] 所测截面明显偏大, Wen. Deh. Lu^[19] 和 J. Csikai^[9] 两家所测截面明显偏小外, 其余几家所测结果走向一致, 且实验结果较接近。从图 4 可以看出, $^{142}Ce(n, 2n)^{141}Ce$ 反应截面测量数据, 在 14MeV 中子能区随着中子能量的增大没有明显变化, 但各家测量结果较为分散。从图 5 可以看出 $^{23}Na(n, 2n)^{22}Na$ 反应截面, 随中子能量的增大, 迅速增大各家测量结果走向一致。必须指出 $^{134}Ba(n, 2n)^{133}Ba$, $^{140}Ce(n, 2n)^{139}Ce$

图 4 $^{142}\text{Ce}(n,2n)^{141}\text{Ce}$ 反应截面

× R. G. Will^[18], × J. Csikai^[19], × Wen Deh Lu^[19], □ S. M. Qaim^[20],
 ♦ A. Bari^[19], △ M. Bormann^[21], ▲ Teng Dan^[23], ⊗ W. Dilg^[21],
 ▽ Schwerer^[23], ● 本文.

图 5 $^{23}\text{Na}(n,2n)^{22}\text{Na}$ 反应截面

△ Lu Hanlin^[6], × H. Liskien^[17], ◇ Y. Ikeda^[10], ▲ J. Piard^[16], □ L. Adamski^[11],
 ○ R. J. Prestwood^[13], ⊗ H. O. Menlove^[15], ● 本文.

和 $^{142}\text{Ce}(n,2n)^{141}\text{Ce}$ 三个快中子反应分别有 $^{132}\text{Ba}(n,\gamma)^{133}\text{Ba}$, $^{138}\text{Ce}(n,\gamma)^{139}\text{Ce}$ 和 $^{140}\text{Ce}(n,\gamma)^{141}\text{Ce}$ 三个 (n,γ) 反应产物的干扰, 虽然在样品照射时, 样品外包有 0.5 mm 厚的镉皮, 可大大减小热中子 (n,γ) 反应的干扰, 但 14 MeV 能区快中子 (n,γ) 反应的干扰仍然存在。

参 考 文 献

- [1] Cheng E T, NEANDC Specialists Meeting on Neutron Activation Cross Section For and Fusion Energy. Argonne, U. S. A 13—15 Sep 1989.

- [2] 王永昌等, 高能物理与核物理, **14**(1990)919.
- [3] Lu Hanlin et al., *Chinese Journal of Nucl Phys.*, **14**(1992)244.
- [4] Ikeda Y et al., NEANDC(Argonne), 1989.
- [5] Holub H, Cindro N, *J. Phys.*, **G2**(1976)405.
- [6] Lu Hanlin et al., *Chinese Journal of Nucl. Phys.*, **14**(1992)83.
- [7] Sigg R A, Thesis Univ of Arkansas (1976).
- [8] Preswood R J, *Phys. Rev.*, **98**(1955)47.
- [9] Csikai J, Nagy S, *Nucl. phys.*, **A91**(1967)222.
- [10] Ikada Y E et al., Report JAERI 1312(1988);
- [11] Adamski L et al., *Ann. Nucl. Energy*, **7**(1980)397.
- [12] Cuzzocrea J et al., *Nuovo Cim.*, **52B**(1967)476.
- [13] Bari. A, *J Radioanal Chem.*, **75**(1982)189.
- [14] Barrall R C et al., Report AFWL-TR-68-134(1968).
- [15] Menlove H O et al., *Phys. Rev.*, **163**(1967)1308.
- [16] Picard J, Williamson C F, *Nucl Phys.*, **63**(1965)673.
- [17] Liskien H, Paulson A, *Nucl Phys.* **63**(1965)673.
- [18] Wille R G, Fink R W, *Phys. Rev.*, **118**(1960)242.
- [19] Wen-Deh Lu et al., *Phys Rev.*, **C1**(1970)350.
- [20] Qaim S M, *Nucl. Phys.*, **A319**(1970)319.
- [21] Dilg W et al., *Nucl. Phys.*, **A118**(1968)9.
- [22] Bormann. M et al., *Nucl. Phys.*, **A115**(1968)309.
- [23] Teng Dan et al., *Chinese Journal Nucl. Phys.*, **4**(1985)307.

The Cross Section Measurements for the $\text{Ba}(n, x)^{134}\text{Cs}$, $\text{Ba}(n, 2n)^{133}\text{Ba}$, $\text{Ce}(n, 2n)^{139}\text{Ce}$, $\text{Ce}(n, 2n)^{141}\text{Ce}$ and $\text{Na}(n, 2n)^{23}\text{Na}$ Reactions

Kong Xiangzhong Wang Yongchang Yang Jingkang Yuan Junqian

(Department of Modern Physics, Lanzhou University, Lanzhou 730001)

Received 12 July 1994

Abstract

The cross sections for $\text{Ba}(n, x)^{134}\text{Cs}$, $\text{Ba}(n, 2n)^{133}\text{Ba}$, $\text{Ce}(n, 2n)^{139}\text{Ce}$, $\text{Ce}(n, 2n)^{141}\text{Ce}$ and $\text{Na}(n, 2n)^{23}\text{Na}$ reactions have been measured by the activation method relative to $\text{Fe}(n, p)^{\text{Mn}}$ reaction in the neutron energy range of 13.50—14.80 MeV. The measured results are compared with published data. Neutron energies are determined by the method of making cross section ratios of $\text{Zr}(n, 2n)^{\text{Nb}}$ and $\text{Nb}(n, 2n)^{\text{Nb}}$ reactions.

Key words activation method, cross section of reaction, $(n, x)(n, 2n)$ reactions.